



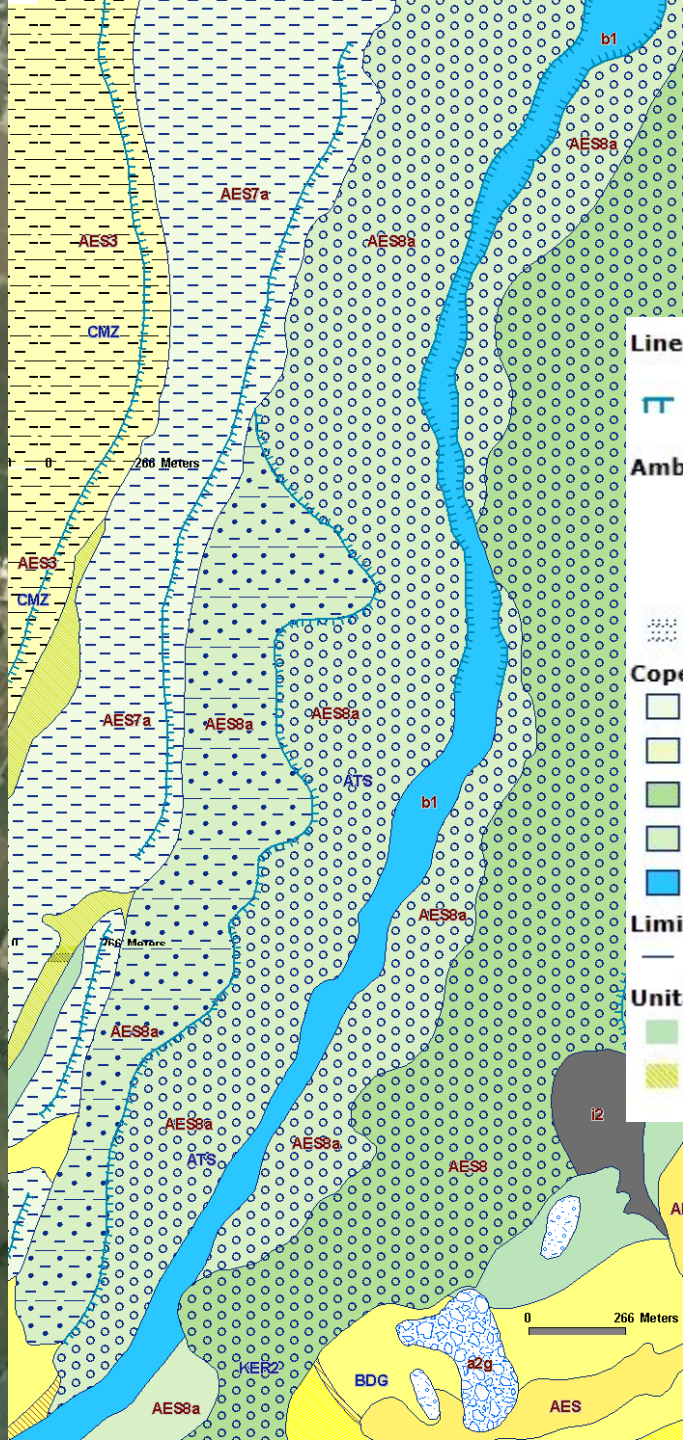
Magnetostratigrafia della serie pleistocenica di Castell'Arquato (PC)



MONESI Edoardo
MUTTONI Giovanni
FELLETTI Fabrizio
SCARDIA Giancarlo



29014 Castell'Arquato PC, Italia



Linee geomorf./antrop. (10K)

orlo di terrazzo fluviale

Ambienti deposiz. e litologie (10K)

Ghiaia - Piana alluvionale

Limo - Piana alluvionale

Limo Argilloso - Piana alluvionale

Sabbia Limoso Argillosa - Piana alluvionale

Coperture quaternarie (10K)

AES7a - Unità di Niviano

AES7b - Unità di Vignola

AES8 - Subsistema di Ravenna

AES8a - Unità di Modena

b1 - Deposito alluvionale in evoluzione

Limiti di unità geologiche (10K)

contatto stratigrafico o litologico certo

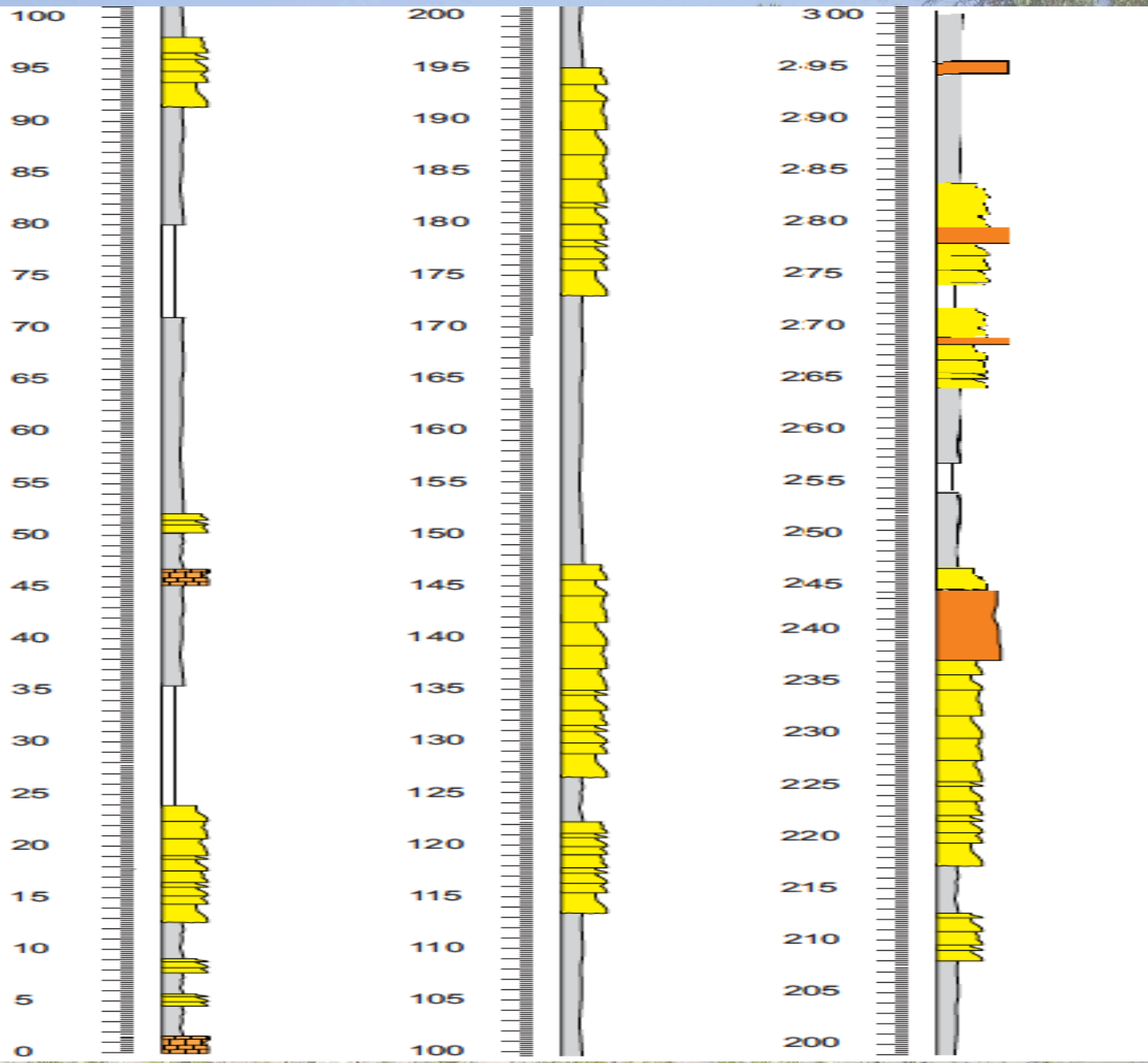
Unità geologiche (10K)

ATS - Sintema del Torrente Stirone

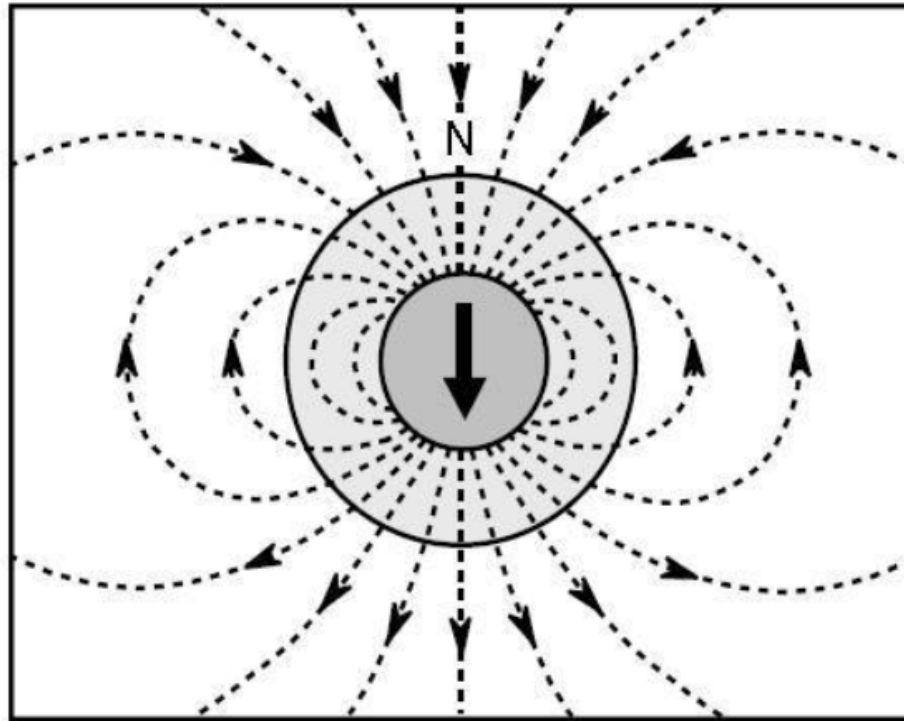
CMZ - Sintema di Costamezzana

0 266 Meters

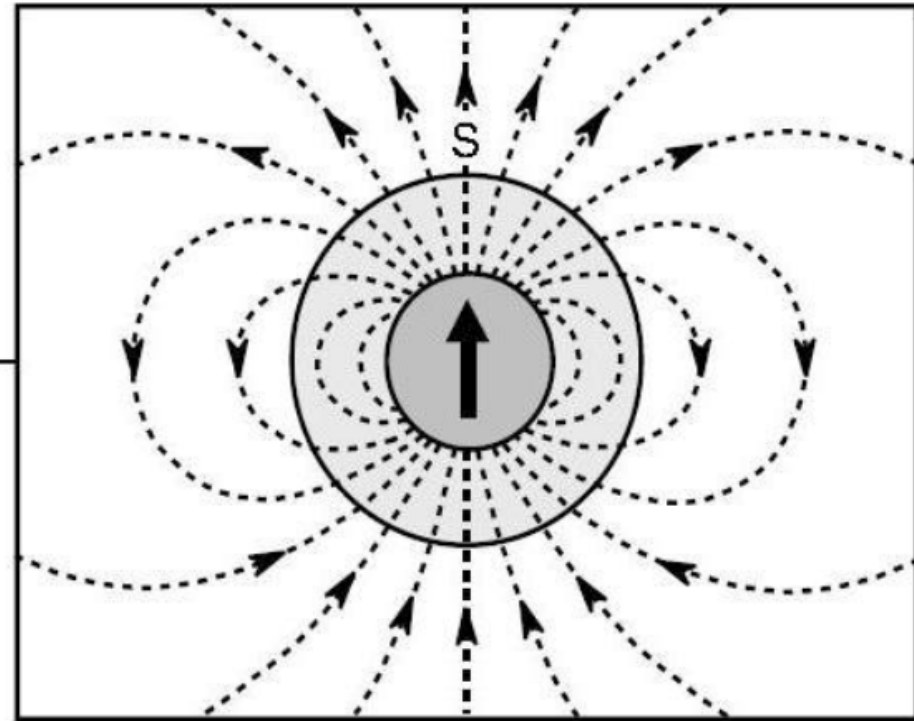




Magnetostratigrafia

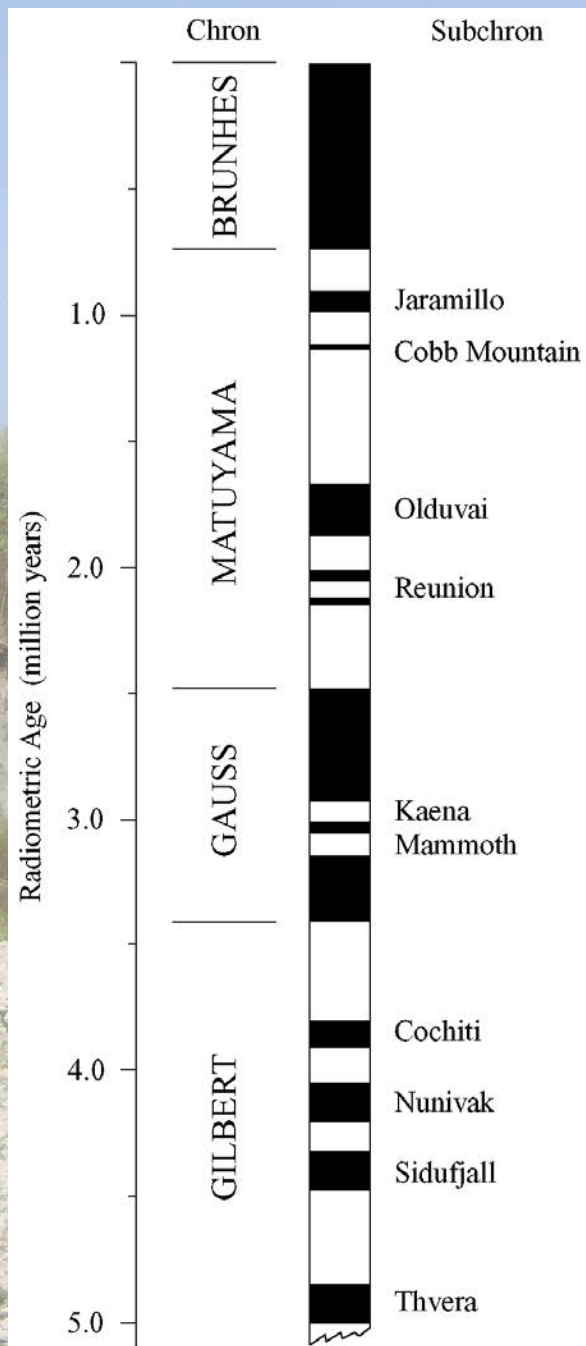


NORMAL



REVERSED

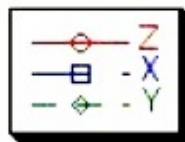




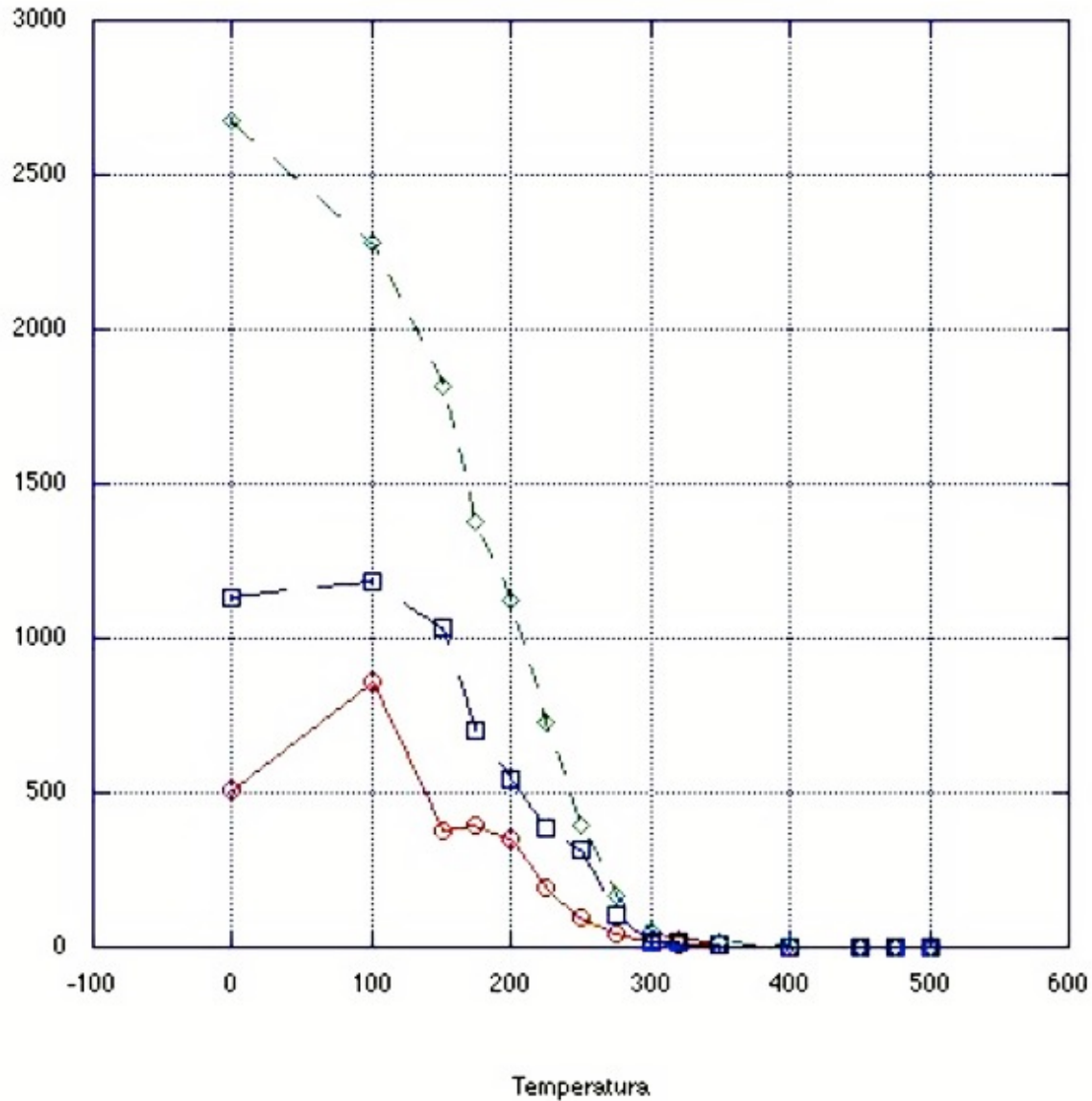
Analisi Paleomagnetiche Svolte

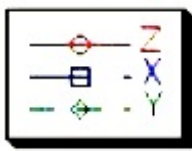
- Determinazione della mineralogia magnetica.
- Determinazione delle inversioni di polarità.
- Determinazione del modello di età della sezione.



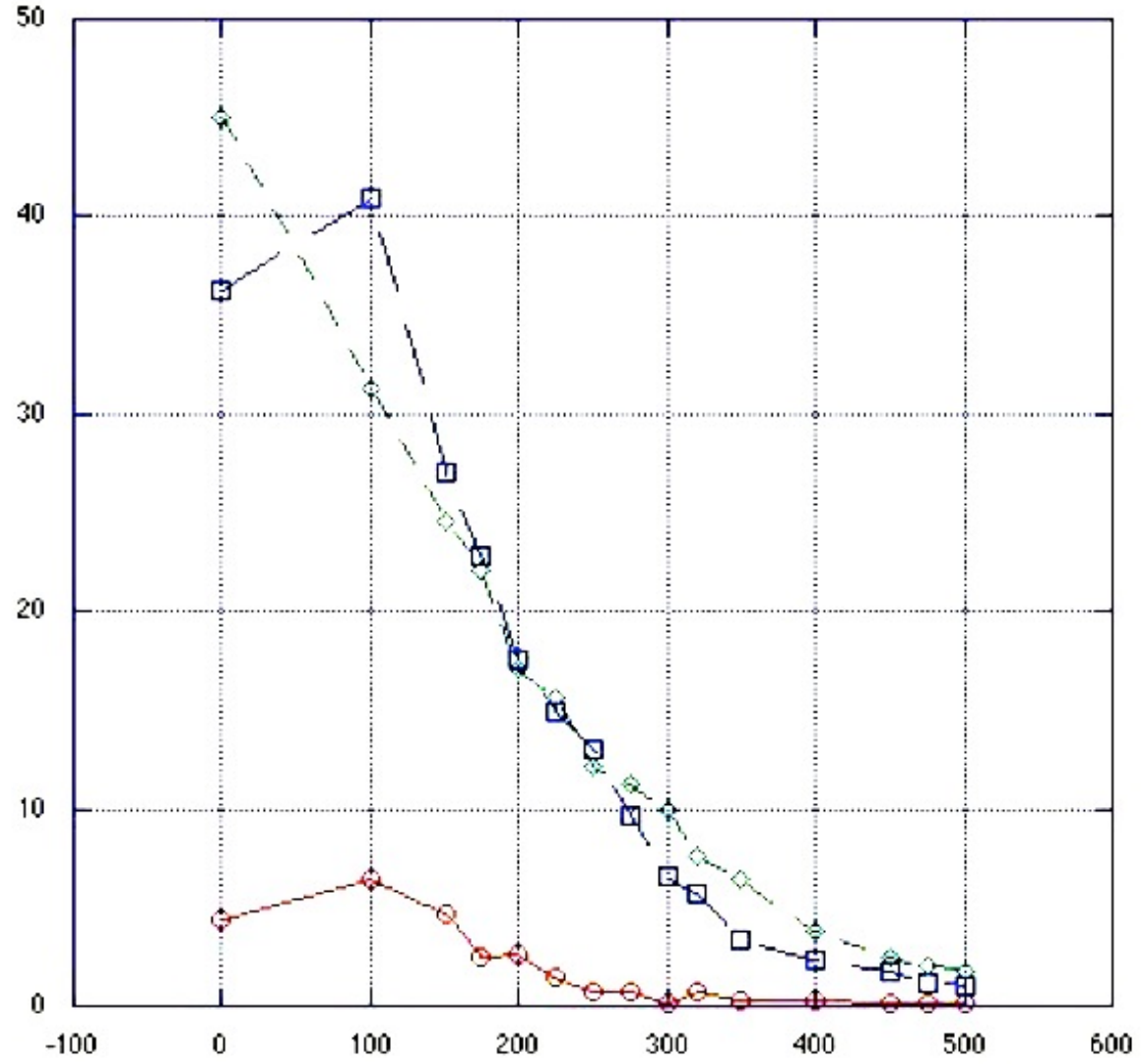


CAMg15.5





CAMg58.35

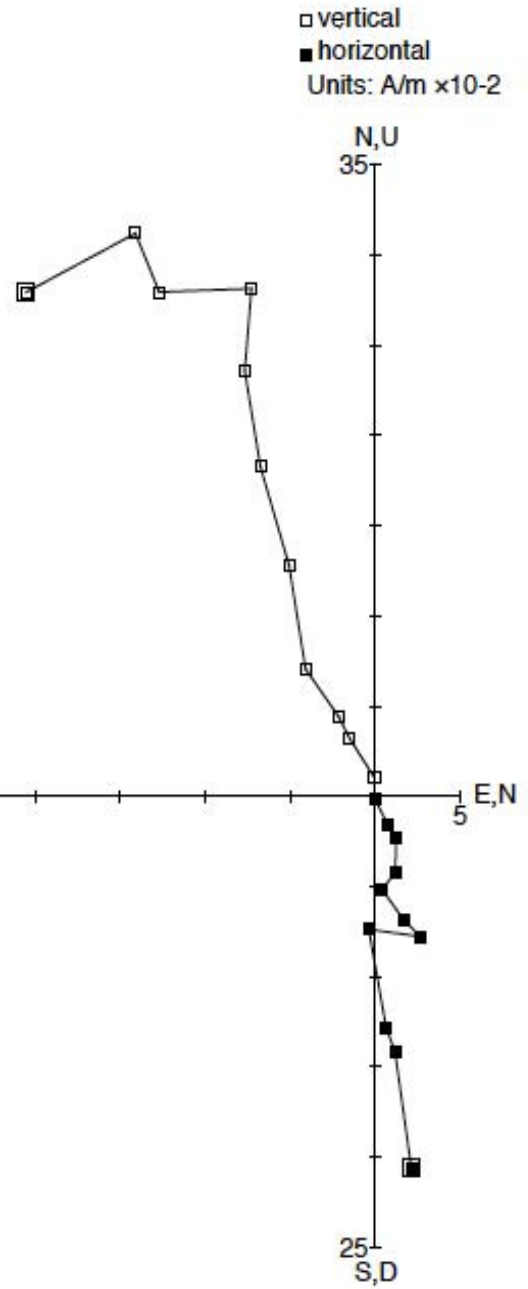
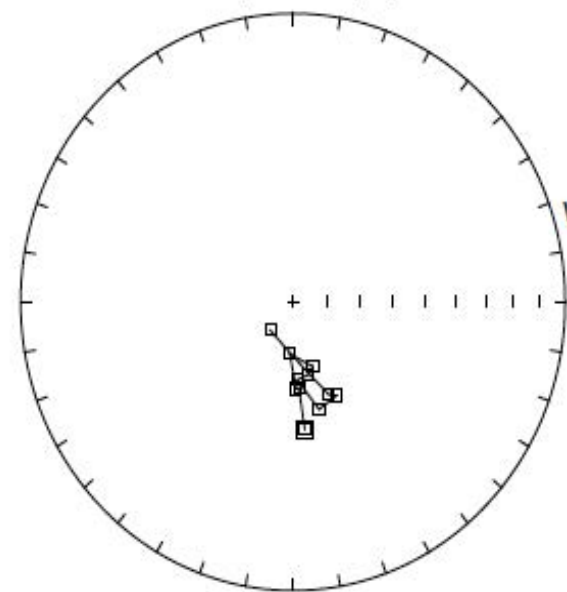
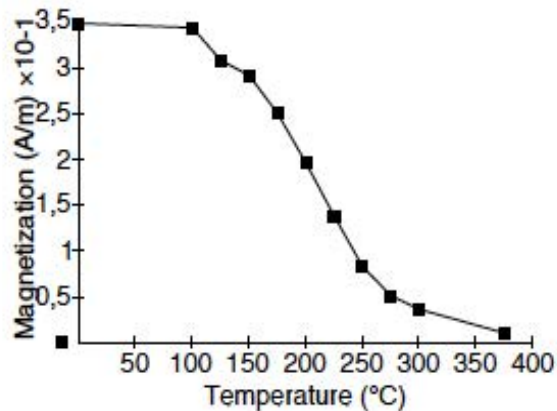


Temperatura



Sample: capa182.0

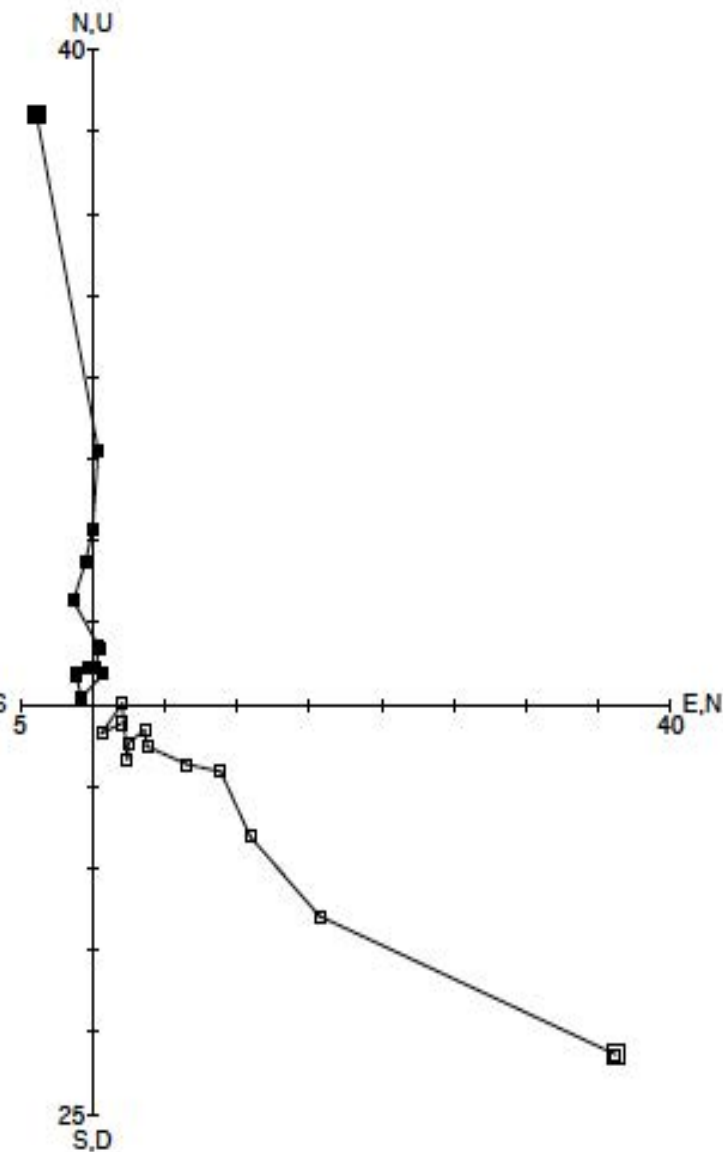
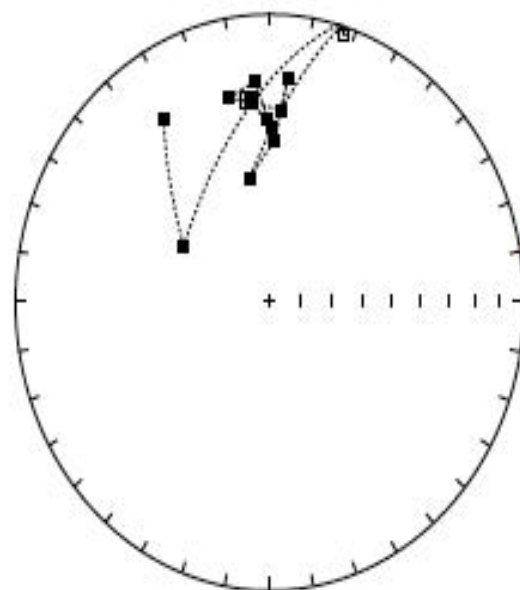
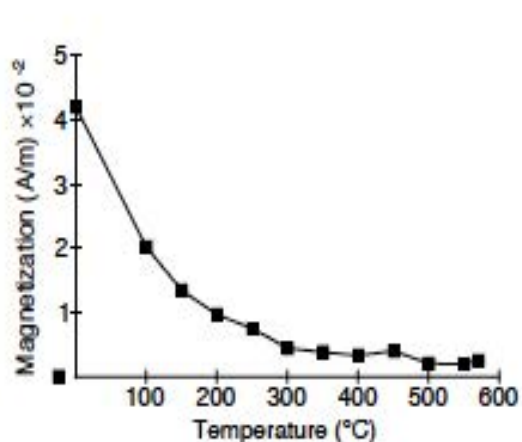
temp.	dec.	inc.	int.	m.s.
0	174,4	-53,5	3.48e-01	NaN
100	175,7	-65,5	3.43e-01	NaN
125	177,6	-65,4	3.08e-01	NaN
150	183,7	-75,3	2.91e-01	NaN
175	161,8	-70,9	2.50e-01	NaN
200	167,1	-69,0	1.96e-01	NaN
225	176,5	-68,0	1.38e-01	NaN
250	165,5	-58,5	8.30e-02	NaN
275	153,6	-60,4	5.11e-02	NaN
300	157,7	-61,7	3.63e-02	NaN
325	343,0	-13,5	5.91e-03	NaN
350	215,0	-22,7	7.09e-03	NaN
375	220,2	-79,6	1.05e-02	NaN
400	18,1	-57,3	1.63e-02	NaN
425	47,6	-26,6	5.90e-03	NaN
450	26,7	17,1	7.34e-03	NaN
475	353,2	43,3	7.42e-03	NaN
500	332,0	-8,4	1.56e-02	NaN
525	358,9	8,1	8.74e-03	NaN
550	291,5	14,5	7.42e-03	NaN
575	146,8	-34,4	1.92e-03	NaN

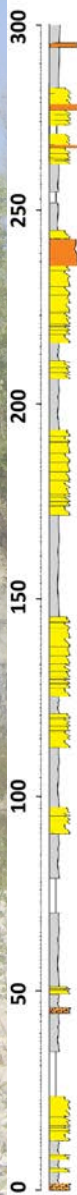


Sample: capa289.0

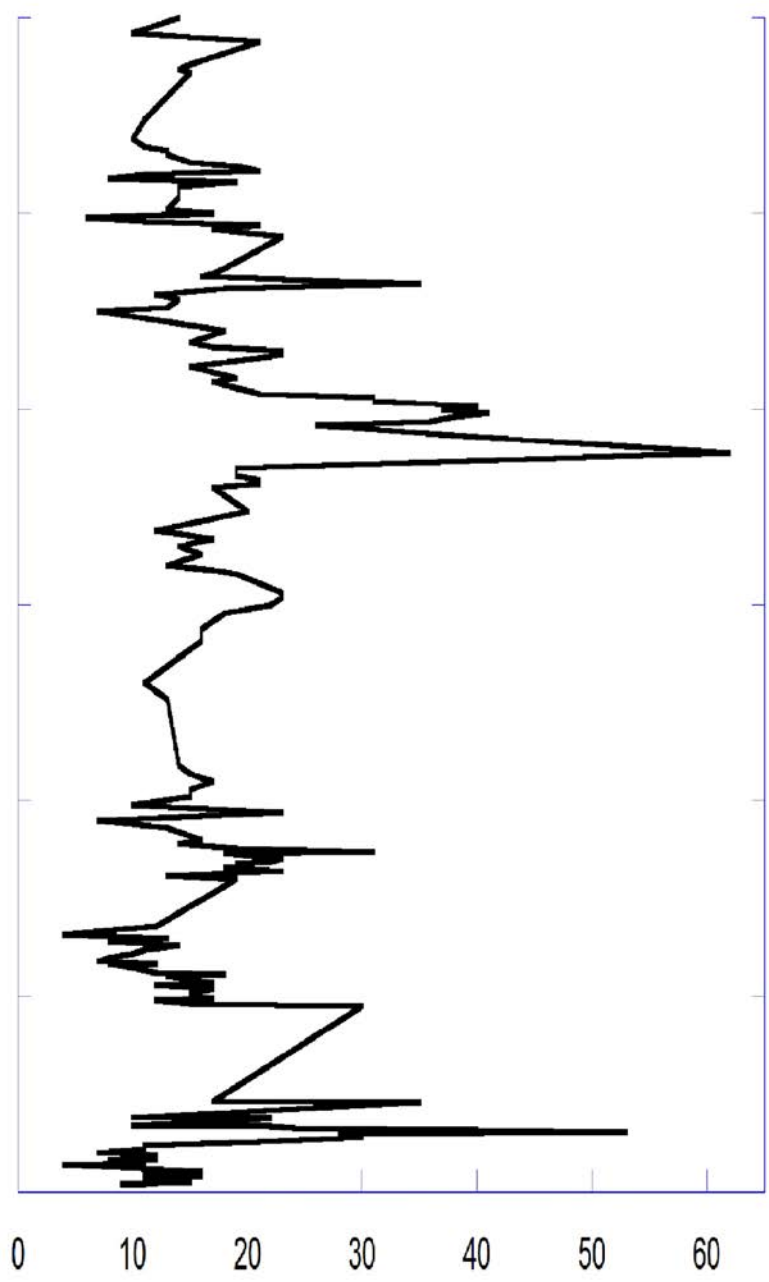
□ vertical
 ■ horizontal
 Units: A/m × 10⁻³

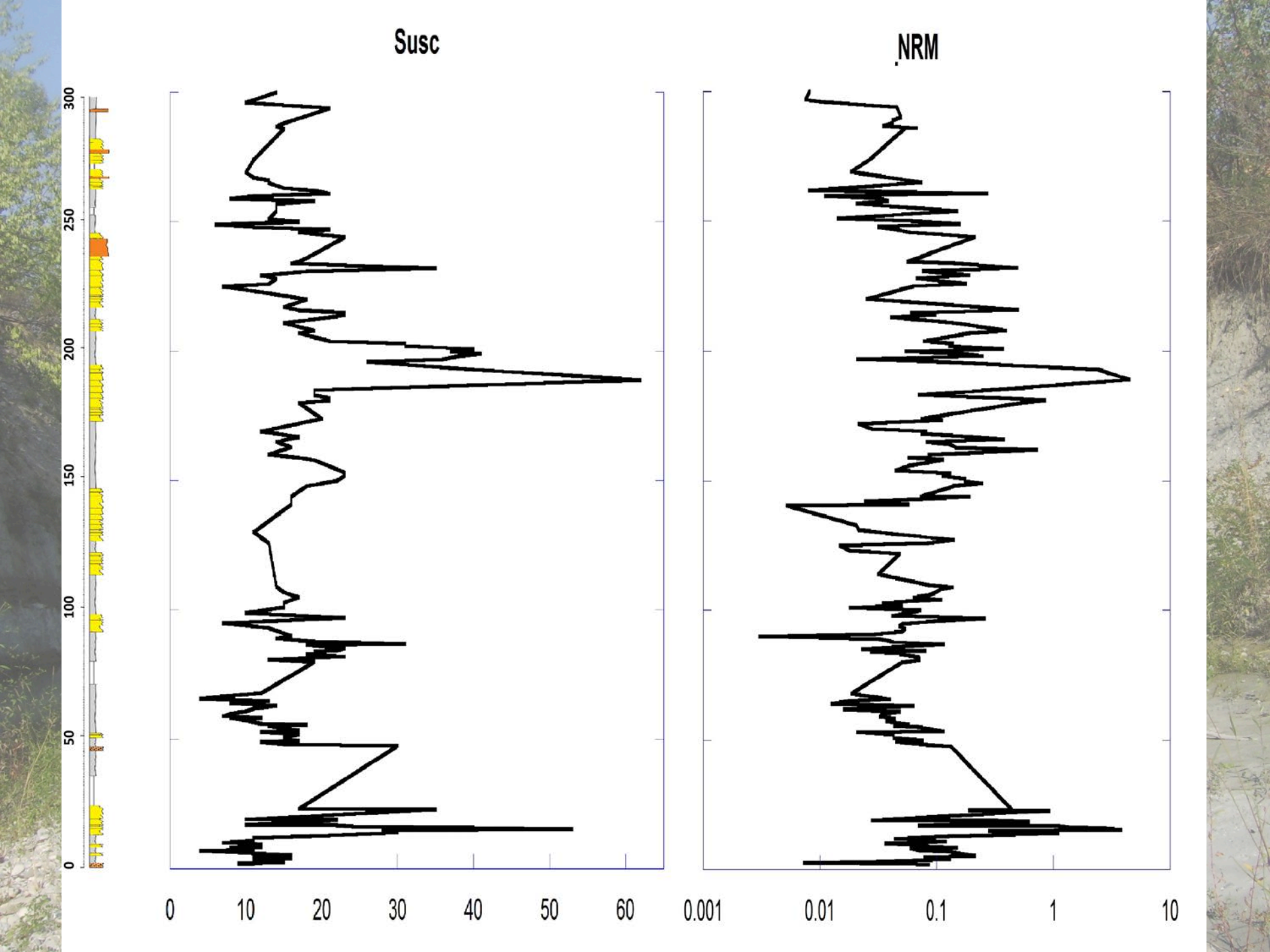
temp.	dec.	inc.	int.	m.s.
0	353,7	30,4	4.21e-02	NaN
100	1,0	39,5	2.02e-02	NaN
150	359,4	36,5	1.34e-02	NaN
200	356,0	24,6	9.65e-03	NaN
250	347,3	28,5	7.49e-03	NaN
300	4,4	34,1	4.43e-03	NaN
350	5,4	23,2	3.80e-03	NaN
400	2,4	43,4	3.28e-03	NaN
450	349,8	54,3	3.99e-03	NaN
500	17,8	-3,2	2.03e-03	NaN
550	299,4	58,4	1.97e-03	NaN
570	326,9	25,0	2.52e-03	NaN





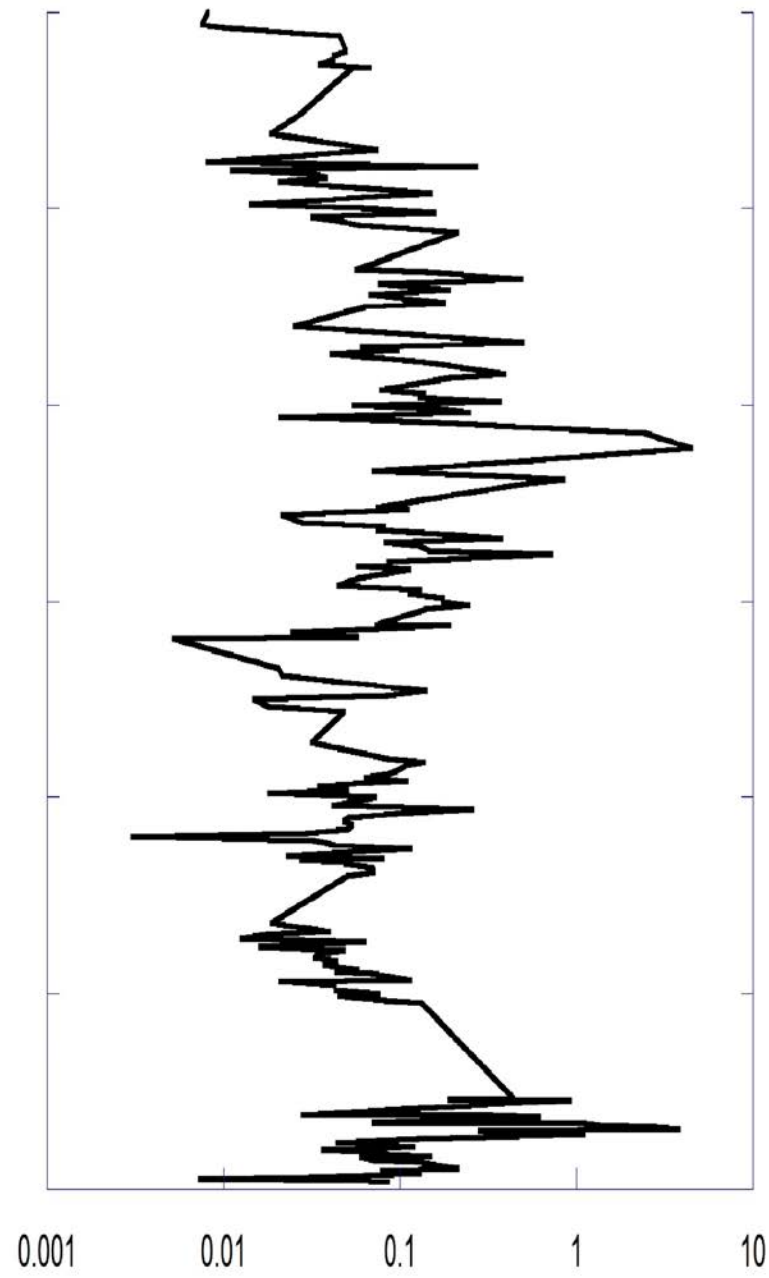
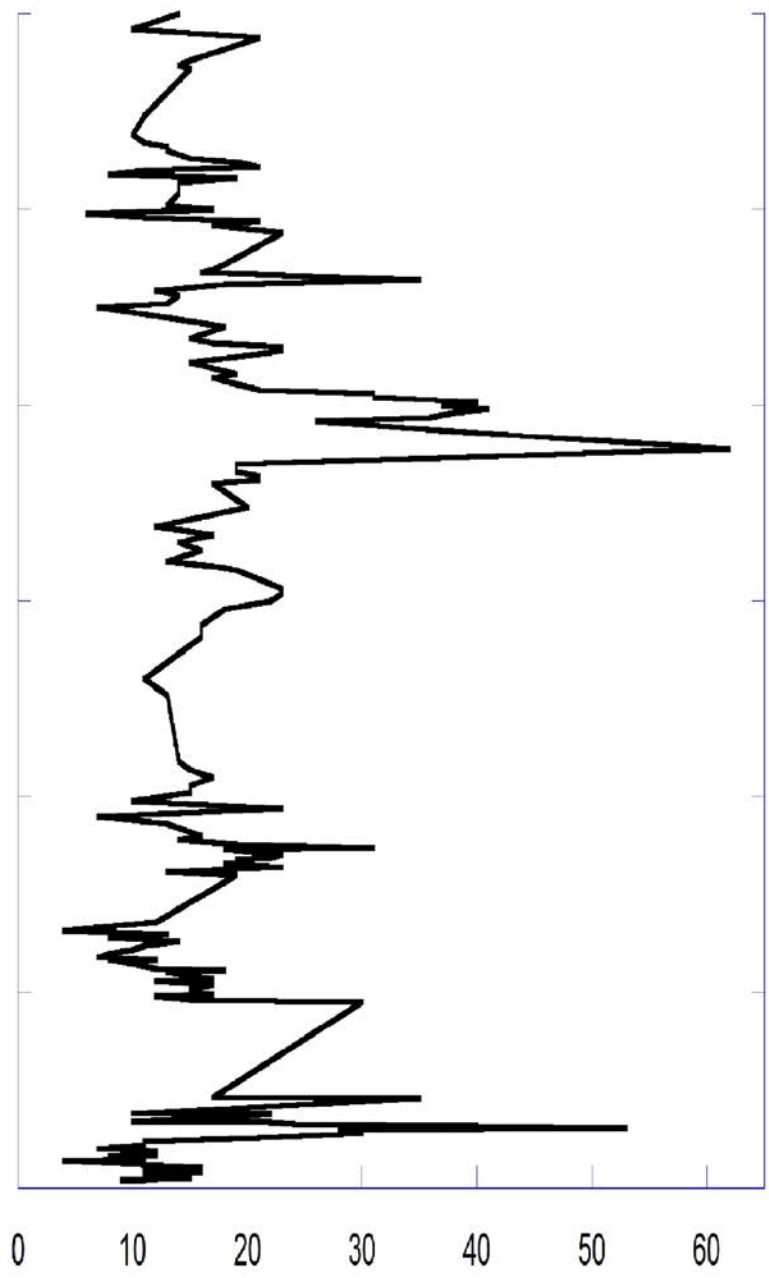
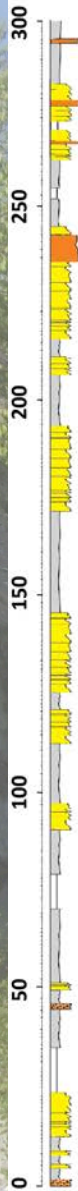
Susc

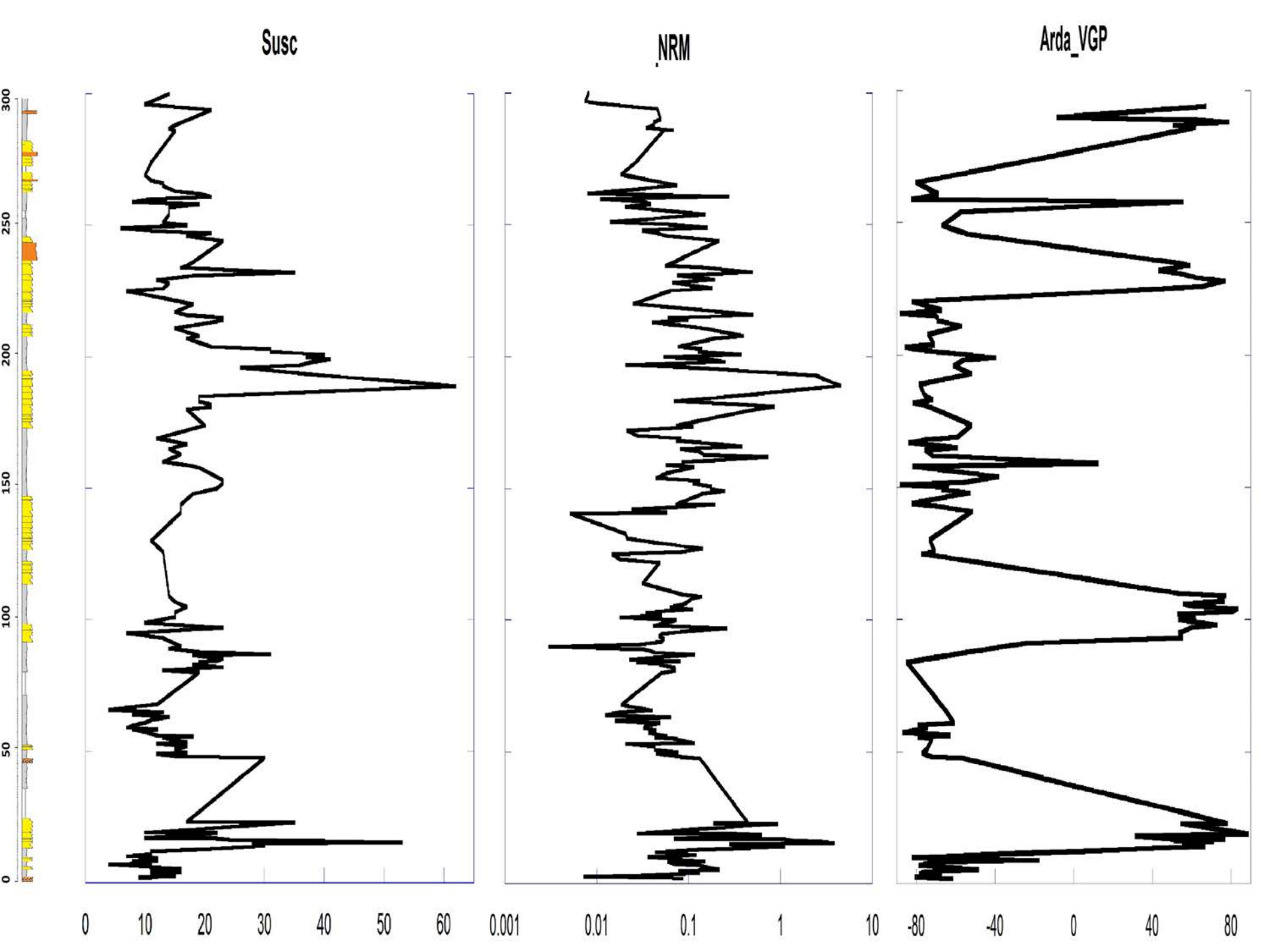




Susc

NRM

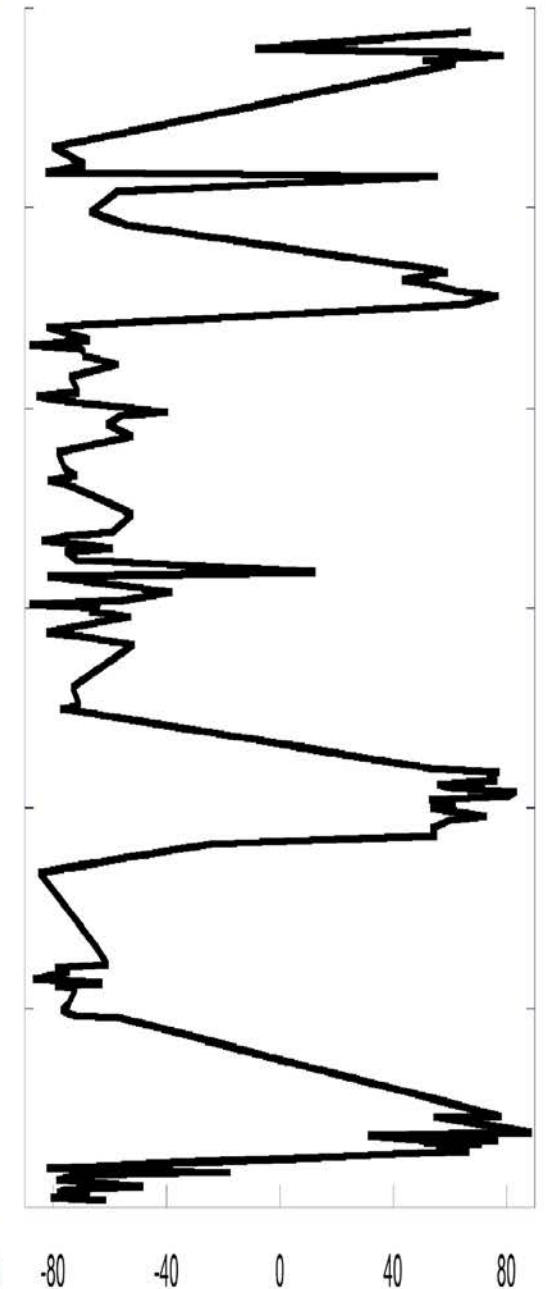
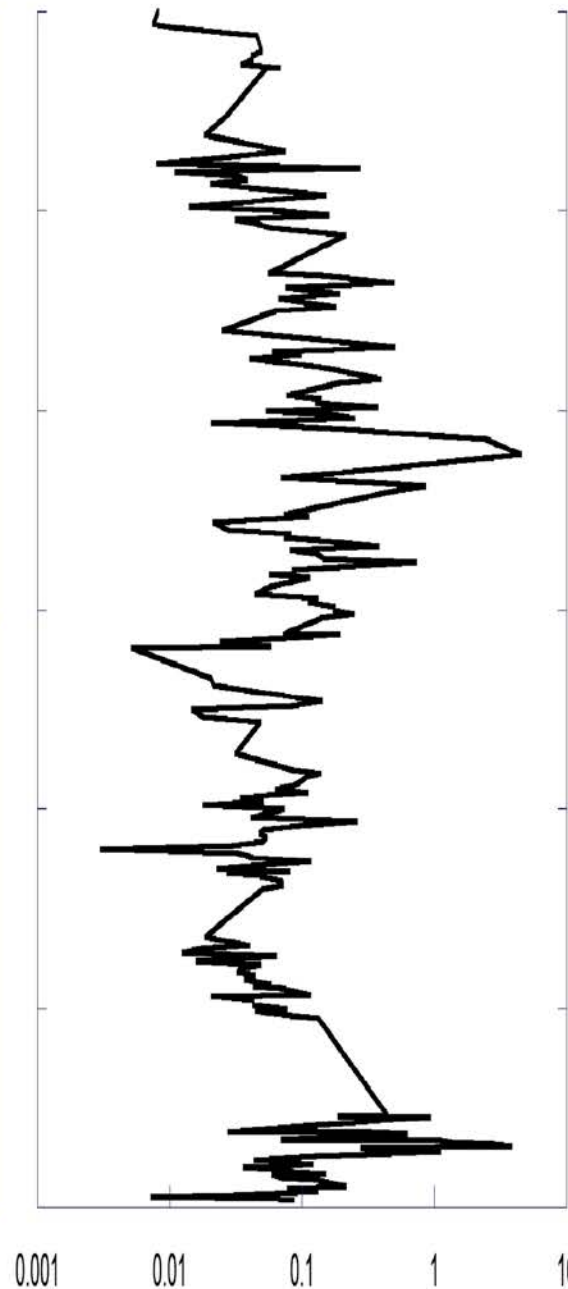
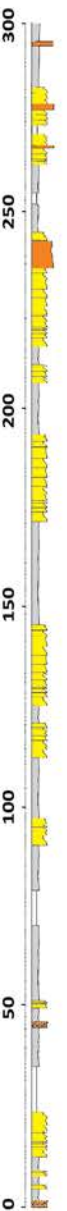




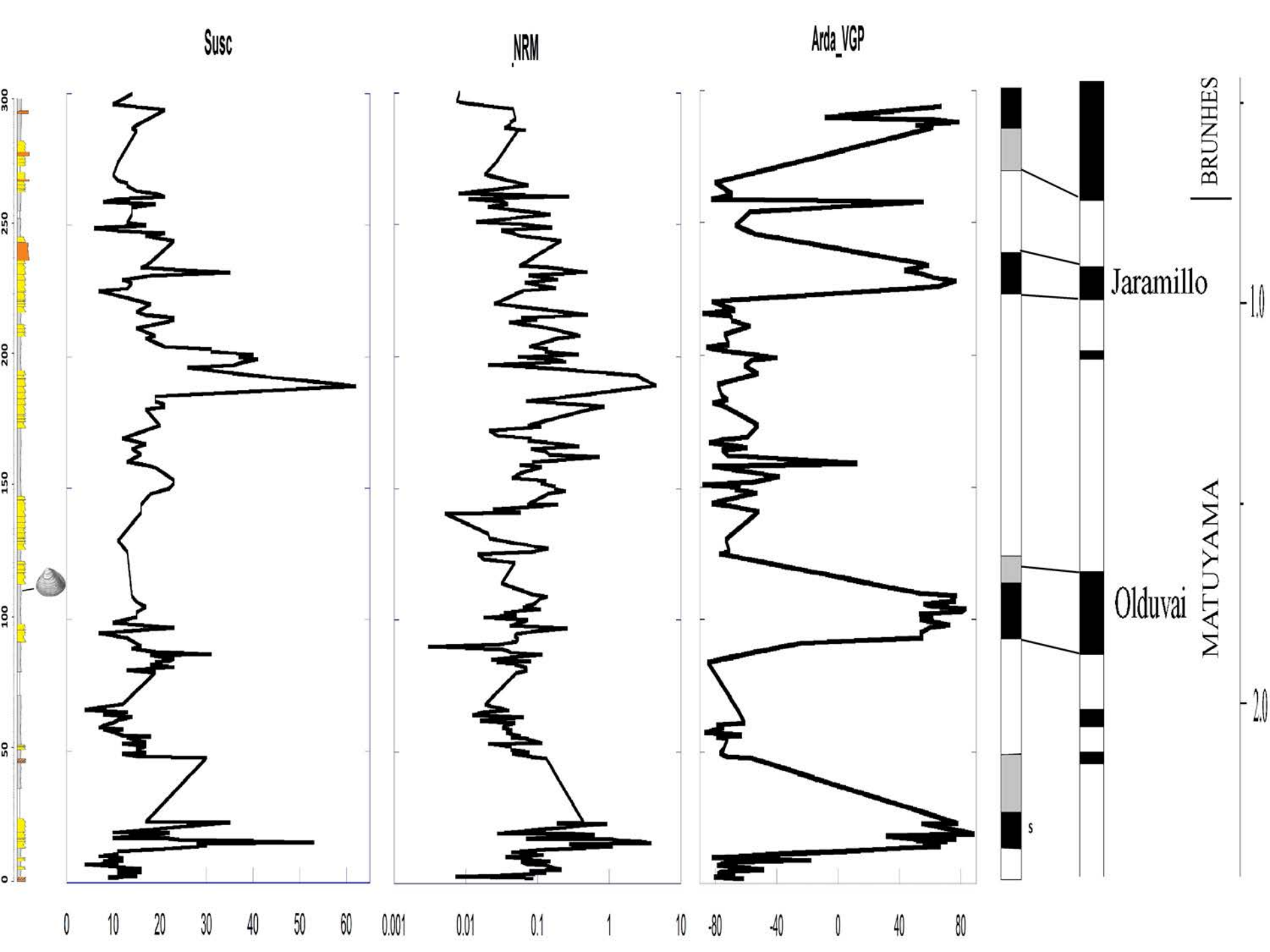
Susc

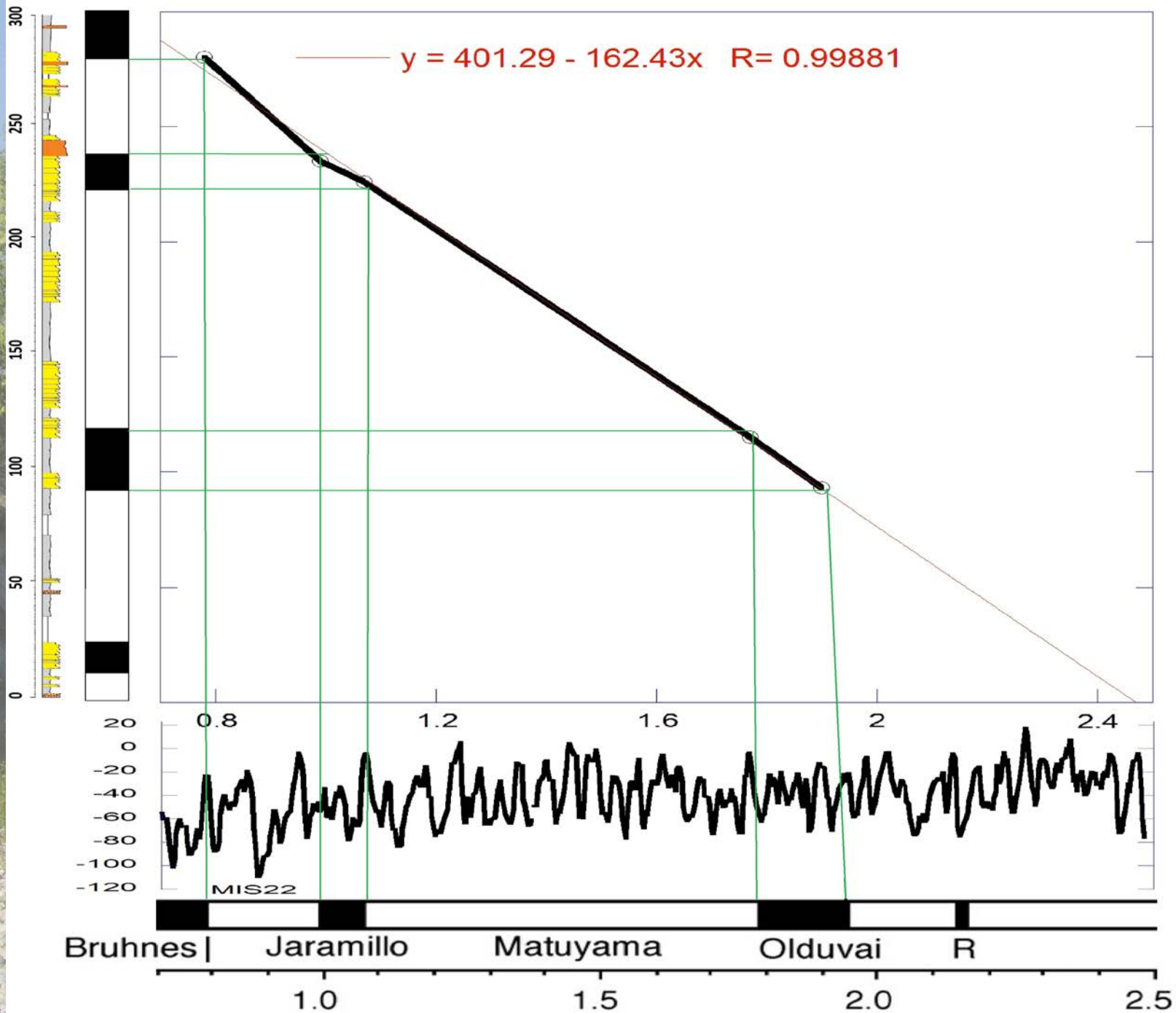
NRM

Arda_VGP



S





Conclusioni

Calcolo della velocità di sedimentazione

Quota Base Brunhes – Quota Base Olduvai
Età Base Olduvai – Età Base Brunhes

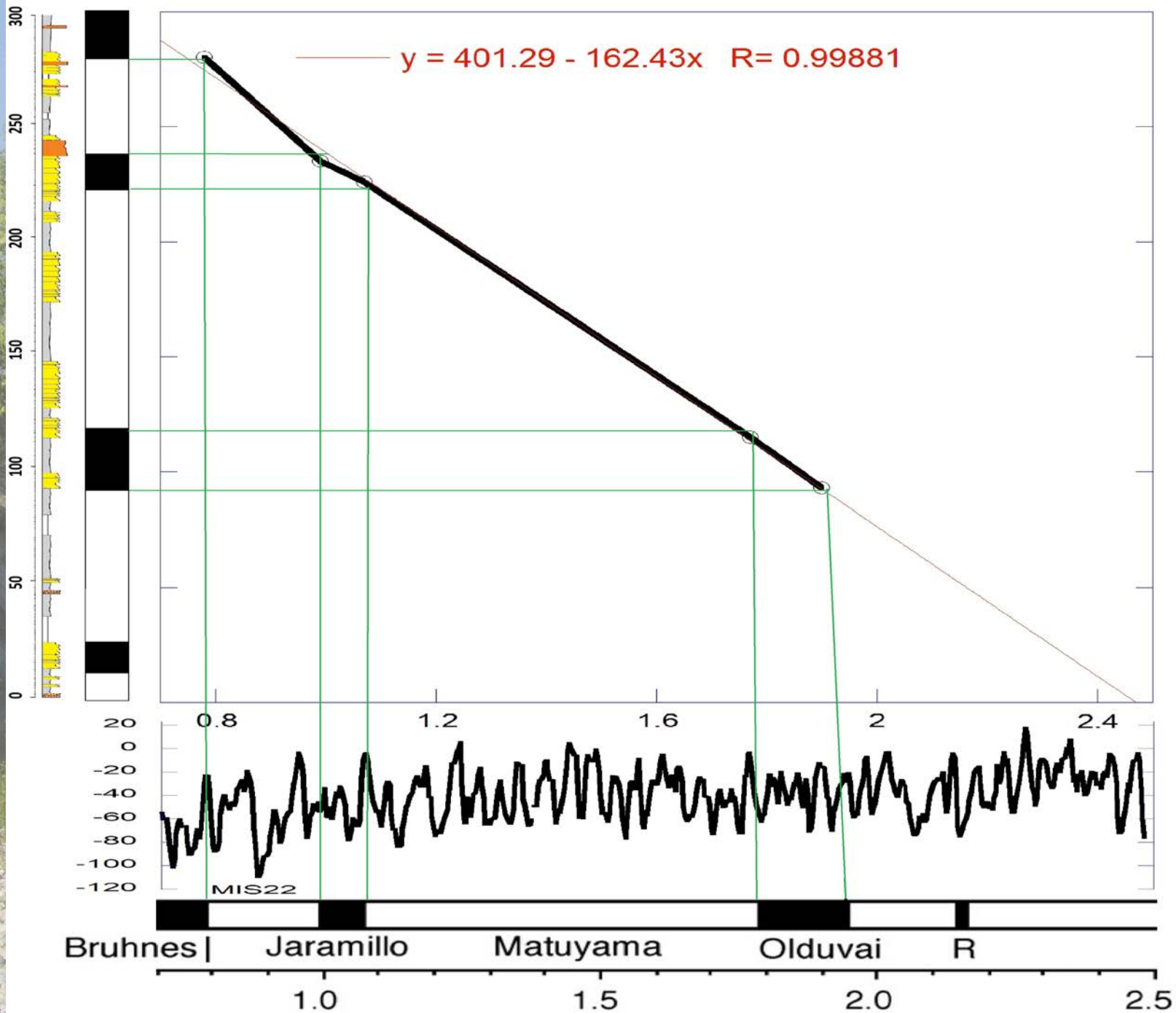
280m – 93m
1.95 Ma-0.78Ma

159.83 m/Ma

Conclusioni

Stima dell'età della base della serie a 2.5 Ma

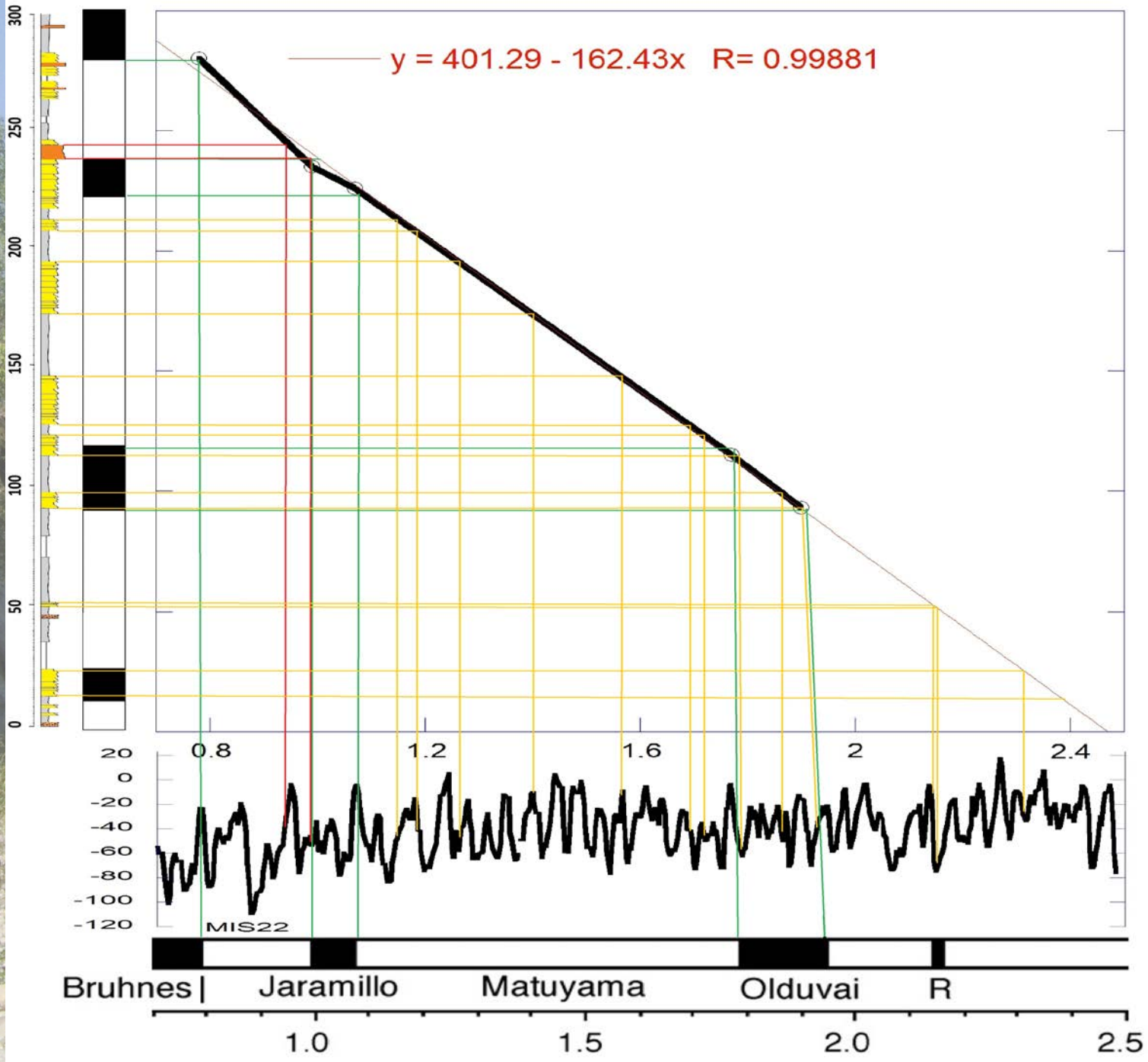




Conclusioni

Possibile causa tettonica nell'alternanza fra le
facies stratigrafiche





Arda Research Group

Dott. E. Monesi
Prof. G. Muttoni
Dott. G. Scardia
Dott. G. Raineri
Dott. C. Francou
A. Paschetto
Prof. R. Parrish
Dott. M. Pound
Dott. ssa M.R. Petrizzo
P. Sayce
Prof. M.H. Stephenson
Dott. C. Bagattini

Dott. ssa G. Crippa
Prof. ssa L. Angiolini
Dott. ssa C. Bottini
Dott. F. Felletti
Dott. C. Frigerio
Dott. C. Garbelli
Dott. ssa D. Grilli
Prof. ssa M.J. Leng
Dott. C. Ravazzi
Dott.ssa R. Pini
Dott. F. Bona
Prof. B. Sala